





# Virtuelle Realität

## Kollisionsdetektion

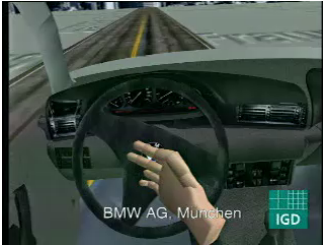



G. Zachmann  
Clausthal University, Germany  
[cg.in.tu-clausthal.de](http://cg.in.tu-clausthal.de)

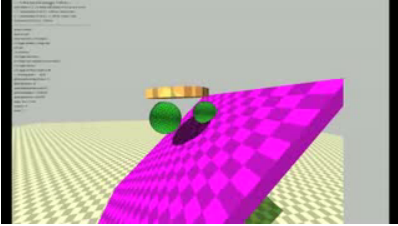


# Anwendungsbeispiele

*Virtual Prototyping*



*Physikalisch basierte Simulation*



G. Zachmann Virtuelle Realität und Simulation – WS 10/11 Kollisionserkennung 3

## Einsatzgebiete von Kollisionserkennung

- Grundlegende Operation:
  - Physikalisch-basierte Simulation
  - Interaktion in VR
  - Haptisches Rendering
- Anwendungsfelder:
  - Spiele, Animation, Medizin, Virtual Prototyping, Pfadplanung, Teleoperation, Roboter-Kollisionsvermeidung, ...





*Hierarchische Kollisionserk.*

G. Zachmann Virtuelle Realität und Simulation – WS 10/11
Kollisionserkennung 4

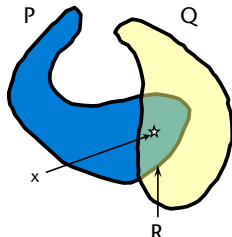
## Koll.erkennung innerhalb einer Simulation

- Main loop:
  - Objekte bewegen
  - Kollisionen checken
  - Kollisionen behandeln, z.B.: Objekte zurückbewegen, Kräfte bestimmen
- Kollisionen stellen zwei Probleme:
  - Kollisionserkennung
  - Kollisionsbehandlung
- Im folgenden: Kollisionserkennung

G. Zachmann Virtuelle Realität und Simulation – WS 10/11
Kollisionserkennung 5

## Definitionen


- Gegeben  $P, Q \subseteq \mathbb{R}^3$
- Erkennungsproblem (“*detection problem*”):  
 “P und Q kollidieren“:  $\Leftrightarrow$   
 $P \cap Q \neq \emptyset \Leftrightarrow$   
 $\exists x \in \mathbb{R}^3: x \in P \wedge x \in Q$
- Konstruktionsproblem (“*construction problem*”):  
 $R := P \cap Q$
- Definition “*Kollision*” für polygonale Objekte:  
 P, Q kollidieren  $\Leftrightarrow$   
 $\exists f \in F^P \exists f' \in F^Q: f \cap f' \neq \emptyset$
- Andere Definition in der Spielebranche



G. Zachmann Virtuelle Realität und Simulation – WS 10/11 Kollisionserkennung 6

## Objekt-Klassen

- konvex
- geschlossen, einfach  
(keine Selbstdurchdringung)
- Sack Polygone (“*polygon soup*”):
  - nicht notwendig geschlossen
  - doppelte Polygone
  - koplanare Polygone
  - Selbstdurchdringungen
  - degenerierte Polygone
  - Löcher
- starr / flexibel

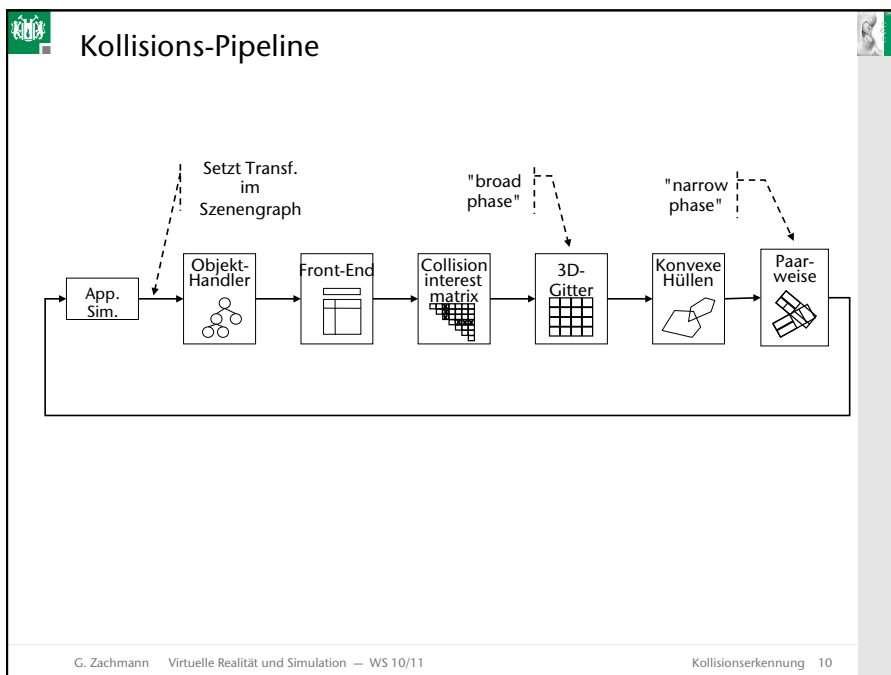


G. Zachmann Virtuelle Realität und Simulation – WS 10/11 Kollisionserkennung 8

## Anforderungen an Kollisionserkennung

- Möglichst große Klasse von Objekten
- Viele bewegliche Objekte (einige 1000)
- Schnell, damit physikalische Simulation iterieren kann (wenigstens  $2 \times 100,000$  Polygone in  $< 1$  Millisek.)
- Kollisionspunkt ("*witness*"), falls Kollision; und optional: alle Kollisionspunkte
- Nicht zu große zusätzliche Datenstrukturen ( $< 2x$ ); der Aufbau dieser Datenstrukturen sollte nicht zu lange dauern, damit man das zur Ladezeit machen kann ( $< 5$ sec / Objekt)

G. Zachmann Virtuelle Realität und Simulation – WS 10/11 Kollisionserkennung 9



## Die Collision-Interest Matrix

- Anwendungsspezifisch:
  - Verschiedene Module interessieren sich für verschiedene Paare;
  - manche Objekt-Paare kollidieren immer, manche Paare können nicht kollidieren;
- Vermeide unnötige Kollisionstests  
⇒ *Collision-Interest Matrix*
- Dreiecks-Matrix, Elemente enthalten:
  - Flag, ob Kollisionserkennung
  - bei inkrementellen Algos  
Infos zum Status beim letzten Frame  
(z.B. bei Algo S die separierende Ebene)
  - *Callbacks* in die Module

Obj	1	2	3	4	5	6	7	8
1		x	x	x	x			
2					x			
3						x		x
4							x	
5								x
6								
7								x
8								

G. Zachmann Virtuelle Realität und Simulation – WS 10/11 Kollisionserkennung 11

## Mehrkörper-Kollisionserkennung

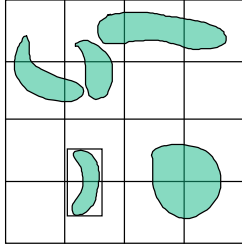
- Kollisionserkennung vieler Objekte:  
Schließe jedes Objekt in eine Bounding-Box ein;  
vergleiche deren BBoxes vor dem exakten Koll.test
- n Objekte bewegen sich  
→ *brute-force* Methode muss  $O(n^2)$  BBoxes vergleichen.
- Idee:  
versuche zum Objekt P schnell die “Nachbarn” zu finden und  
mache nur mit diesen Bbox-Vergleiche  
→ Raum-Gitter, *Sweep-Plane*, etc.

G. Zachmann Virtuelle Realität und Simulation – WS 10/11 Kollisionserkennung 12

## Raum-Gitter

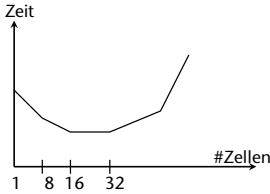
Idee:

1. Teile die "Welt" in regelmäßiges Gitter.
2. Objekte "benachbart", wenn sie gemeinsame Gitterzelle(n) belegen.
3. Bestimme Zellen-Belegung anhand der BBoxes (exakte Bestimmung zu teuer)
4. Objekt bewegt sich  
→ Gitter updaten.



Trade-Off:

- weniger Zellen = größere Zellen  
→ entfernte Objekte sind "benachbart";
- mehr Zellen = kleinere Zellen  
→ Objekte belegen mehr Zellen  
→ Aufwand zum Update wird größer



G. Zachmann Virtuelle Realität und Simulation – WS 10/11 Kollisionserkennung 13

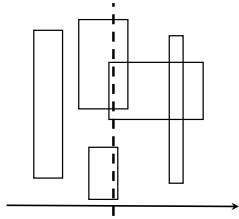
## Plane-Sweep

Idee:

Lasse eine Ebene senkrecht zur x-Achse durch den Raum streichen ("sweep")

Algo:

- sortiere x-Koord. der Box-Ränder
- starte mit der linken Box
- führe Liste "aktiver" Boxes
- springe von Box-Rand zu Box-Rand:
- if** aktueller Box-Rand ist "linke" Seite einer Box
- füge diese Box zur aktiven Liste hinzu
- checke neue Box gegen alle anderen in der aktiven Liste (2D)
- else**
- entferne diese Box aus der aktiven Liste



G. Zachmann Virtuelle Realität und Simulation – WS 10/11 Kollisionserkennung 14

## Szenengraph

Idee:

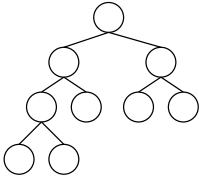
- Verwende die Hierarchie des Szenen-Graphen,
- Analog zu hierarchischer Koll.erkennung.

Unterschiede:

- Nur 1 Hierarchie statt 2;
- Blätter = Objekte (statt Blätter = Polygone);
- Alle Blätter bewegen sich.

Probleme:

- Hierarchie wird schnell ineffizient,
- Oft keine Hierarchie von außen vorgegeben.  
(Bsp.: Auto-Daten)



G. Zachmann Virtuelle Realität und Simulation – WS 10/11 Kollisionserkennung 15

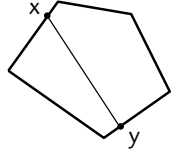
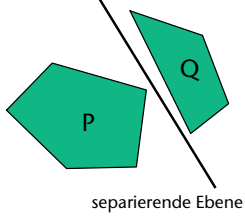
## Frame-to-Frame Coherence

- Beobachtung:  
*Zwei aufeinander folgende Bilder in einer zusammenhängenden Sequenz unterscheiden sich (meistens) wenig.*
- Beispiele
  - Kamerabewegung
  - Objektbewegung
- Anwendungen
  - Computer Vision (Bsp.: Tracking von Markern)
  - MPEG
  - Kollisionserkennung
  - Ray Tracing von Animationen (?)
- Algorithmen basierend auf frame-to-frame coherence heißen **“inkrementell”**, manchmal auch **“dynamisch”** oder **“on-line”**

G. Zachmann Virtuelle Realität und Simulation – WS 10/11 Kollisionserkennung 27

## Konvexe Objekte

- Definition “**konvexer Polyeder**“:
 
$$P \subset \mathbb{R}^3 \text{ konvex} \Leftrightarrow \forall x, y \in P : \overline{xy} \subset P \Leftrightarrow P = \bigcap_{i=1, \dots, n} H_i, H_i = \text{Halbräume}$$
- Bedingung für Nicht-Kollision: “**linear separierbar**”
 
$$P \cap Q = \bigcap_{i=1}^{n_1+n_2} H_i = \emptyset \Leftrightarrow \exists i : P \subseteq H_i \wedge Q \subseteq H_i^c$$
 (“P liegt ganz auf der einen Seite von  $H_i$ ,  
Q liegt ganz auf der anderen Seite”)

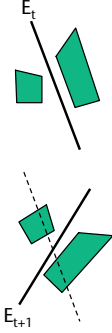



G. Zachmann Virtuelle Realität und Simulation – WS 10/11 Kollisionserkennung 28

## Algorithmus “**separierende Ebene**”

- Idee:
 

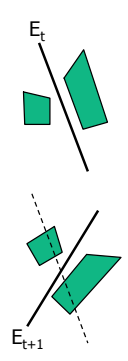
wenn im letzten Frame E eine trennende Ebene zwischen P und Q war, dann ist in diesem Frame die trennende Ebene “**in der Nähe**” von E (evtl. ist es sogar dieselbe).



G. Zachmann Virtuelle Realität und Simulation – WS 10/11 Kollisionserkennung 30



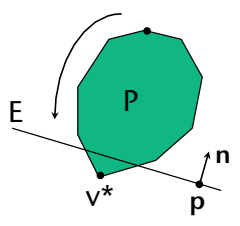
$E_t$  war separierende Ebene zu P,Q im Frame t gewesen  
 $E := E_t$   
**repeat** max n times  
   **if** es ex.  $v \in V^P$  auf der Rückseite von E  
     drehe/verschiebe E, so daß v auf der Vorderseite  
   **if** es ex.  $v \in V^Q$  auf der Vorderseite von E  
     drehe/verschiebe E, so daß v auf der Rückseite  
   **if** kein  $v \in V^P$  und kein  $v \in V^Q$  auf der "falschen" Seite  
     **return** "keine Kollision"  
 es gibt immer noch v's auf der "falschen" Seite  
   **return** "Kollision" {kann manchmal falsch sein}  
 speichere  $E_{t+1} := E$  für's nächste Frame



G. Zachmann Virtuelle Realität und Simulation – WS 10/11 Kollisionserkennung 31

### Finde schnell eine Ecke auf der "falschen" Seite

- Brute-Force: teste für alle v ob
 
$$f(\mathbf{v}) = (\mathbf{v} - \mathbf{p}) \cdot \mathbf{n} > 0$$
- Beobachtungen:
  1. f ist linear,
  2.  $\exists^1 \mathbf{v}^* : f(\mathbf{v}^*) = \min$
  3. P konvex  $\Rightarrow f(x)$  hat genau ein lokales Minimum über allen Punkten x auf der Oberfläche von P (oder mehrere und diese liegen parallel zu E)
- Algo (minimales v bzgl. f suchen)
  - starte mit irgendeiner Ecke v
  - gehe zu demjenigen Nachbarpunkt v' von v, für das f am kleinsten ist
  - fertig, falls es kein "kleineres" v' gibt



G. Zachmann Virtuelle Realität und Simulation – WS 10/11 Kollisionserkennung 32

## Eigenschaften des Algorithmus'

- + Erwartete Laufzeit ist  $O(1)$ !  
Der Algo nützt *frame-to-frame coherence* aus:  
wenn sich die Objekte wenig bewegt haben, dann muss man nur überprüfen, dass die separierende Ebene immer noch eine ist; wenn die trennende Ebene ein bisschen verschoben werden muss, dann ist man meistens nach wenigen Iterationen fertig.
- + Funktioniert auch für sich verformende Objekte, solange sie konvex bleiben
- Funktioniert nur für konvexe Objekte
- Terminiert nicht notwendigerweise;  
also bricht man die Schleife nach **max** erfolglosen Versuchen ab; dann kann der Algo ein falsches Ergebnis liefern.
- *Frage: Gibt es eine deterministische Variante ?!*

G. Zachmann Virtuelle Realität und Simulation – WS 10/11 Kollisionserkennung 33

## Closest Feature Tracking

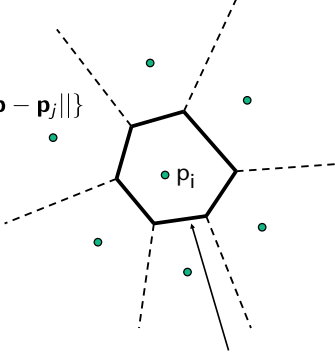
- Vorgestellt von Lin & Canny 1992  
( → Lin-Canny-Algorithmus)
- Idee
  - Verfolge Minimalabstand zwischen beiden Objekten
  - Wird realisiert durch je ein Punkt auf der Oberfläche
  - Bei kontinuierlicher Bewegung der Objekte wandern diese Punkte kontinuierlich über die Oberfläche
- Zugrunde liegende Verfahren
  - Voronoi-Diagramme
  - “closest features”

G. Zachmann Virtuelle Realität und Simulation – WS 10/11 Kollisionserkennung 34

## Voronoi-Diagramme zu Punkten

- Gegeben eine Menge Punkte  $S = \{p_i\}$
- Definition Voronoi-Region :  

$$V_i := \{p \in \mathbb{R}^2 \mid \forall j \neq i : \|p - p_i\| < \|p - p_j\|\}$$
- Definition Voronoi-Diagramm :  
Menge aller Voronoi-Regionen zu den Punkten in  $S$ .
- Partition der Ebene in Kanten und Voronoi-Regionen
- Interaktive Demo: <http://web.cs.uni-bonn.de/l/GeomLab/VoroGlide/>

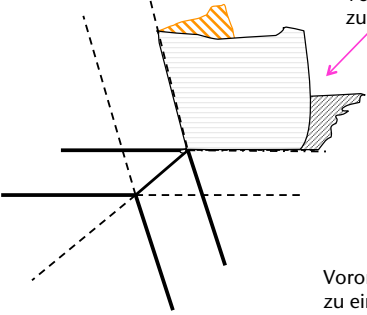


Voronoi-Region zu einem Punkt

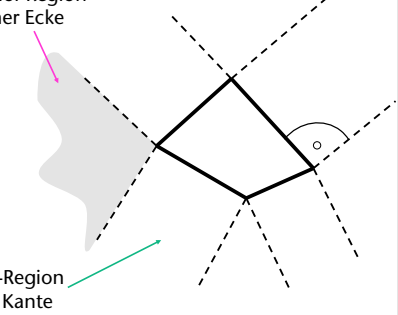
G. Zachmann Virtuelle Realität und Simulation – WS 10/11 Kollisionserkennung 35

## Voronoi-Diagramme zu Polyedern

Voronoi-Regionen in 3D



Voronoi-Regionen in 2D



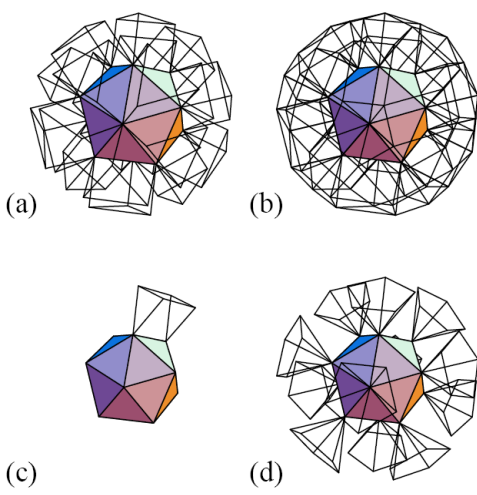
Voronoi-Region zu einer Ecke

Voronoi-Region zu einer Kante

Äußere Voronoi-Regionen sind für konvexe Objekte sehr einfach zu konstruieren!  
(Innere Voronoi-Regionen brauchen wir nicht.)

G. Zachmann Virtuelle Realität und Simulation – WS 10/11 Kollisionserkennung 36

## Äußere Voronoi-Regionen eines Polyeders



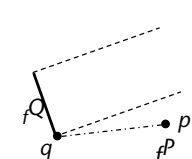
The external Voronoi regions of ...

- (a) faces
- (b) edges
- (c) a single edge
- (d) vertices

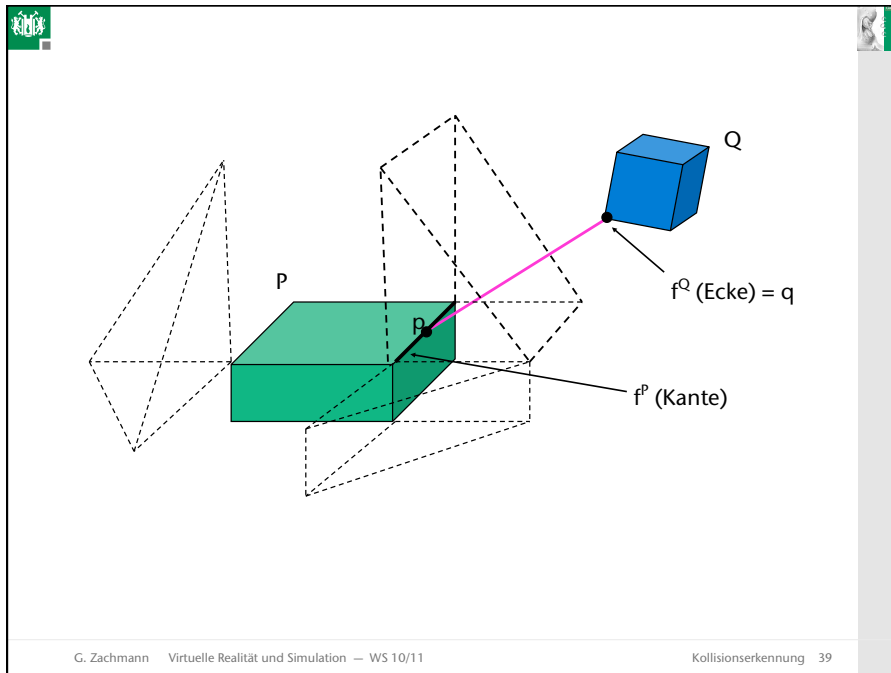
G. Zachmann Virtuelle Realität und Simulation – WS 10/11 Kollisionserkennung 37

## Closest Features

- Definition *Feature*  $f^P$  :=  
Ecke, Kante oder Polygon eines Polyeders  $P$ .
- Definition "*Closest Feature*":  
Seien  $f^P$  und  $f^Q$  zwei Features auf  $P$  bzw.  $Q$ , und seien  $p, q$  Punkte auf  $f^P$  bzw.  $f^Q$  die den minimalen Abstand von  $P$  und  $Q$  realisieren, d.h.,  $d(P, Q) = d(f^P, f^Q) = \|p - q\|$ .  
Dann heißen "*closest features*".
- Lemma:  
Sei  $V(f)$  die Voronoi-Region zu einem Feature  $f$ ;  
 $f^P, f^Q$  sind "*closest features*"  $\Leftrightarrow$   
 $p$  liegt in  $V(f^Q)$ ,  $q$  liegt in  $V(f^P)$ .



G. Zachmann Virtuelle Realität und Simulation – WS 10/11 Kollisionserkennung 38

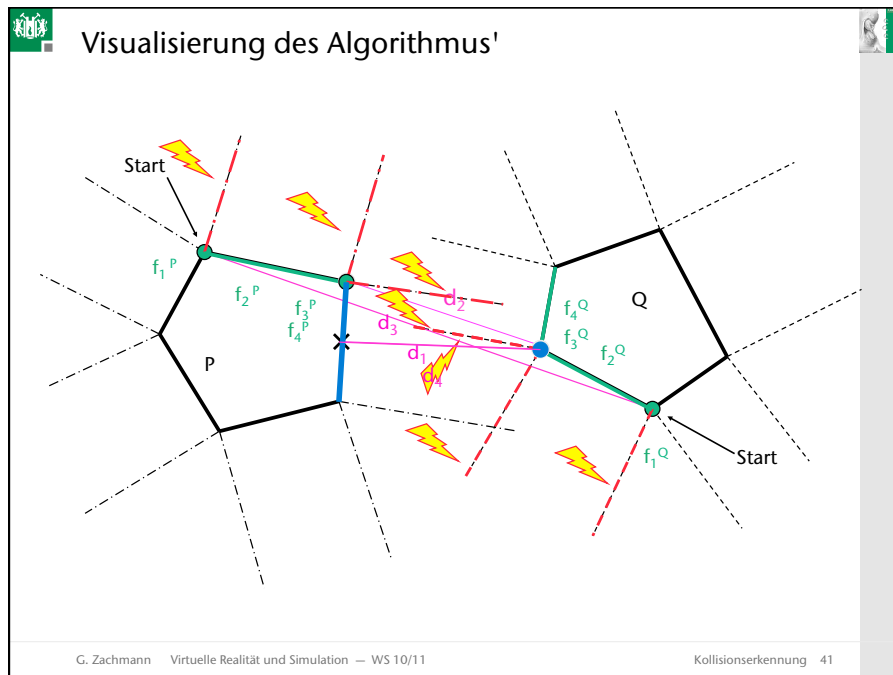


### Algorithmus

starte mit zwei beliebigen Features  $f^P, f^Q$  auf P bzw. Q  
**while** ( $f^P, f^Q$ ) sind noch nicht closest features &&  $d(f^P, f^Q) > 0$   
     **if** ( $f^P, f^Q$ ) wurde schon einmal betrachtet  
         **return** "Kollision" (weil Zyklus)  
     bestimme p und q, die den Abstand zwischen  $f^P, f^Q$  realisieren  
     **if**  $p \in V_q$  und  $q \in V_p$   
         **return** "keine Kollision", ( $f^P, f^Q$ ) sind closest features  
     **if** ex. eine Seite von  $V_q$  bzgl. der p auf der falschen Seite liegt  
          $f^P \leftarrow$  das Feature der "dahinter" liegenden Voronoi-Region  
     analog für q, falls  $q \notin V_p$   
**if**  $d(f^P, f^Q) > 0$   
     **return** "keine Kollision"  
**else**  
     **return** "Kollision"

**Achtung:** bei Kollision befinden sich einige Features im Innern des anderen Objektes, aber im Innern ex. keine Voronoi-Regionen!

G. Zachmann Virtuelle Realität und Simulation – WS 10/11 Kollisionserkennung 40



### Anmerkungen

- Kleine Denkaufgabe:  
Das *Voronoi-Diagramm* braucht man eigentlich nicht!  
(aber mit *Voronoi-Diagramm* ist der Algo schneller)
- Berechnungsdauer hängt ab vom "Maß" der zeitlichen Kohärenz
- Verbesserung durch *Lookup-Table*:  
trage sphärische Koordinaten der Features  
in Tabelle ein

G. Zachmann Virtuelle Realität und Simulation – WS 10/11 Kollisionserkennung 42

Movie

## Incremental Collision Detection for Polygonal Models

Madhav K. Ponamgi  
Jonathan D. Cohen  
Ming C. Lin  
Dinesh Manocha

G. Zachmann Virtuelle Realität und Simulation – WS 10/11 Kollisionserkennung 43

Hierarchische Kollisionserkennung

- Für “*Polygon soups*”
- Algorithmentechnik:  
Divide & Conquer

G. Zachmann Virtuelle Realität und Simulation – WS 10/11 Kollisionserkennung 44

### Bounding Volume Hierarchy (BVH)

- Schließe alle Polygone aus P in ein Hüllvolumen (*bounding volume*)  $BV(P)$  ein
- Teile P auf in  $P_1, P_2, P_3, \dots, P_n$  mit  $P_1 \cup P_2 \cup P_3 \cup \dots \cup P_n = P$
- Rekursiv für die  $P_i$ .

→ *bounding volume hierarchy*

```

    graph TD
      B --- B1
      B --- B2
      B1 --- B31
      B2 --- B32
  
```

G. Zachmann Virtuelle Realität und Simulation — WS 10/11 Kollisionserkennung 45

### Simultane Traversierung

traverse(X, Y)  
 if X,Y do not overlap then  
   return  
 if X,Y are leaves then  
   check polygons  
 else  
   for all children pairs do  
   traverse(  $X_i, Y_j$  )

```

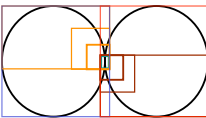
    graph TD
      A1((A1)) --- B2((B2))
      A1 --- B3((B3))
      A1 --- C2((C2))
      A1 --- C3((C3))
      B2 --- D4((D4))
      B2 --- D5((D5))
      B2 --- E4((E4))
      B2 --- E5((E5))
      B3 --- D6((D6))
      B3 --- D7((D7))
      B3 --- E6((E6))
      B3 --- E7((E7))
      C2 --- F4((F4))
      C2 --- F5((F5))
      C2 --- C4((C4))
      C2 --- C5((C5))
      C3 --- F6((F6))
      C3 --- F7((F7))
      C3 --- G6((G6))
      C3 --- G7((G7))
  
```

Bounding Volume Test Tree (BVTT)

G. Zachmann Virtuelle Realität und Simulation — WS 10/11 Kollisionserkennung 46



## Einfache Laufzeit-Abschätzung

- Best-case:  $O(\log n)$ 

- Einfache *average-case* Abschätzung:
  - $P[k]$  = Wahrsch.keit daß genau  $k$  Kinderpaare überlappen,  $k \in [0, \dots, 4]$ 

$$P[k] = \frac{1}{16} \binom{4}{k}$$
  - Annahme: alle Ereignisse sind gleich wahrscheinlich
  - Erwartete Laufzeit :
 
$$T(n) = \frac{1}{16} \cdot 0 + \frac{4}{16} \cdot T\left(\frac{n}{2}\right) + \frac{6}{16} \cdot 2T\left(\frac{n}{2}\right) + \frac{4}{16} \cdot 3T\left(\frac{n}{2}\right) + \frac{1}{16} \cdot 4T\left(\frac{n}{2}\right)$$

$$T(n) = 2T\left(\frac{n}{2}\right) \in O(n)$$
- In der Praxis besser

Bounding Volume Test Tree (BVTT)



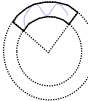
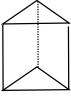

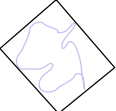

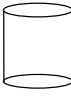
G. Zachmann Virtuelle Realität und Simulation – WS 10/11 Kollisionserkennung 47

## Bounding Volumes

Anforderungen:

- sehr schneller Überlappungstest
- auch dann, wenn die *Bounding Volumes* rotiert oder transl. sind!
  - "einfache" *Bounding Volumes*
- eine Überdeckung des ganzen Raumes sollte möglichst wenig mehrfach belegten Raum haben → "tight BVs"

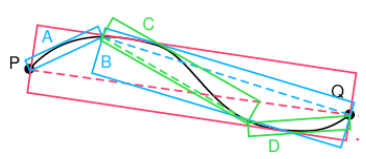
Einige mögliche *Bounding Volumes*:

	Box (AABB)		k-DOP hier z.B. 8-DOP		Kugelschale (spherical shell)		Prisma
	Kugel		OBB (oriented bounding box)		Konvexe Hülle		Zylinder

G. Zachmann Virtuelle Realität und Simulation – WS 10/11 Kollisionserkennung 48

## The Wheel of Re-Invention

- OBB-Trees: wurden für 2D-Kurven in 1981 schon von Dana Ballard vorgeschlagen, nannten diese "strip trees"



- AABB-Hierarchien: wurden in den 80er Jahren auch in der Datenbank-Gemeinde erfunden, heißen dort "R-Tree", "R\*-Tree", "X-Tree", etc.

G. Zachmann Virtuelle Realität und Simulation — WS 10/11
Kollisionserkennung 49

## Exkurs: Das Rad der Fortuna




Boccaccio De Casibus Virorum Illustrium Paris: 1467



Codex Buranus

G. Zachmann Virtuelle Realität und Simulation — WS 10/11
Kollisionserkennung 50

## Schnitttest für konvexe BVs (Polyeder)



- Hermann Minkowski (1864 – 1909), deutscher Mathematiker und Physiker
- Definition (*Minkowski-Summe*):  
Seien  $A$  und  $B$  Teilmengen eines Vektorraums;  
die Minkowski-Summe von  $A$  und  $B$  ist
 
$$A \oplus B = \{\mathbf{a} + \mathbf{b} \mid \mathbf{a} \in A, \mathbf{b} \in B\}$$
- Entsprechend die *Minkowski-Differenz*:
 
$$A \ominus B = \{\mathbf{a} - \mathbf{b} \mid \mathbf{a} \in A, \mathbf{b} \in B\}$$
- Zusammenhang zwischen *Minkowski-Summe* und *-Differenz*:
 
$$A \ominus B = A \oplus (-B)$$
- Anwendungen: Computergraphik, Bildverarbeitung, Lineare Optimierung, Roboter-Pfadplanung, ...

G. Zachmann Virtuelle Realität und Simulation – WS 10/11 Kollisionserkennung 52

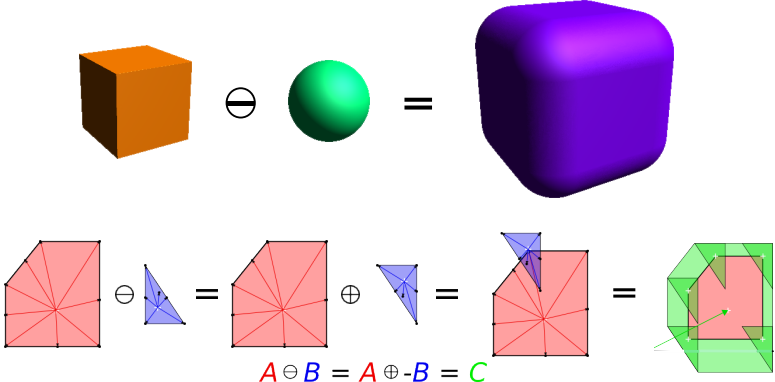
- Intuitive "Berechnung" der Minkowski-Summe:



- Achtung: das gelbe Polygon zeigt die Minkowski-Summe **modulo(!)** eventueller Translationen!

G. Zachmann Virtuelle Realität und Simulation – WS 10/11 Kollisionserkennung 53

▪ Weitere Beispiele:



$A \ominus B = A \oplus -B = C$

▪ Dieses Objekt nennt man auch das *Configuration Space Obstacle (CSO)*

G. Zachmann Virtuelle Realität und Simulation – WS 10/11 Kollisionserkennung 54

▪ Eigenschaften

▪ *Minkowski-Summen* sind:

- Kommutativ:  $A \oplus B = B \oplus A$
- Assoziativ:  $A \oplus (B \oplus C) = (A \oplus B) \oplus C$
- Distributiv bzgl. Vereinigung:  $A \oplus (B \cup C) = (A \cup B) \oplus (A \cup C)$
- Invariant (in gewissem Sinne) gegenüber Translation:  $T(A) \oplus B = T(A \oplus B)$

▪ *Minkowski-Differenz*:


$$T(A) \ominus T(B) = A \ominus B$$

G. Zachmann Virtuelle Realität und Simulation – WS 10/11 Kollisionserkennung 55

# Exact Minkowski Sums of Convex Polyhedra

Efi Fogel and Dan Halperin

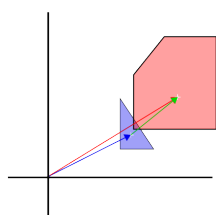
School of Computer Science  
Tel Aviv University



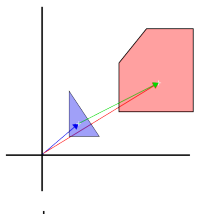
G. Zachmann Virtuelle Realität und Simulation – WS 10/11 Kollisionserkennung 56

## Schnitttest für zwei konvexe BVs

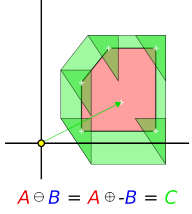
- A und B schneiden sich  $\Leftrightarrow 0 \in A \ominus B$
- Beispiel:



$A \ominus B = A \ominus B = C$



$A \ominus B = A \ominus B = C$



$A \ominus B = A \ominus B = C$

Der Koordinatenursprung befindet sich in der Minkowski-Differenz C

G. Zachmann Virtuelle Realität und Simulation – WS 10/11 Kollisionserkennung 58

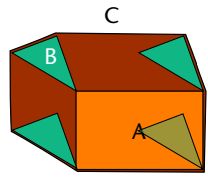
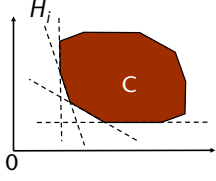
## Schnitttest für Oriented Bounding Boxes (OBB)

- Lemma "*Separating Axis Test*" (SAT):  
Seien A, B zwei konvexe Polytope (Polyeder).  
Wenn es eine separierende Ebene gibt,  
dann auch eine, die parallel zu einer Seite von A oder B ist,  
oder parallel zu mindestens einer Kante von A und einer von B.  
[Gottschalk, Lin, Manocha; 1996]
- Abwandlung des "*separating plane*" Lemmas  
("separating axis" Lemma):  
Zwei konvexe Polyeder überlappen sich nicht  $\Leftrightarrow$   
es gibt eine Gerade, so daß die Projektion der beiden  
Objekte auf dieser Geraden sich nicht überlappen.  
Diese Achse heißt "*separierende Achse*".

G. Zachmann Virtuelle Realität und Simulation – WS 10/11 Kollisionserkennung 60

## Beweis des SAT-Lemmas

1. Annahme: A und B sind disjunkt
2. Betrachte Minkowski-Summe
3. Alle Faces von C sind entweder parallel zu einem Face von A, oder einem Face von B, oder parallel zu einer Kante von A *und* einer Kante von B
4. C ist konvex
5.  $C = \bigcap_{i=1}^m H_i$
6.  $A \cap B = \emptyset \Leftrightarrow (0, 0, 0) \notin C$
7.  $\exists i : 0 \notin H_i$  (0 liegt außerhalb eines  $H_i$ )
8. Es gibt eine separierende Ebene für A und B, die parallel zu diesem  $H_i$  ist.

G. Zachmann Virtuelle Realität und Simulation – WS 10/11 Kollisionserkennung 61

### Der SAT für OBBs

- OBdA: rechne im Koord.system von Box A
- Box A definiert durch:  $C, a^1A^1, a^2A^2, a^3A^3$
- Position von B relativ zu A ist definiert durch R & T
- Im Koord.system von A:  $B^i$  sind Spalten von R
- Gemäß Lemma müssen wir **nur einige spezielle** Ebenen betrachten, um die Separierung festzustellen
- A,B überlappen, wenn  $|T \cdot L| < r_A + r_B$  für jede dieser Ebenen
  - $L$  = Normale der Ebene
- Anzahl solcher "spezieller" Achsen bei Boxes = 15

G. Zachmann Virtuelle Realität und Simulation – WS 10/11 Kollisionserkennung 62

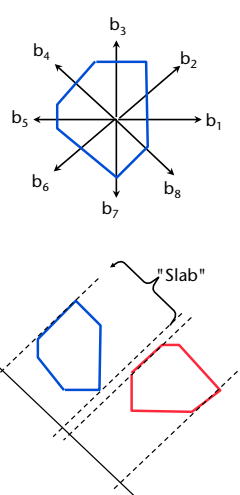
- Bsp.:  $L = A^1 \times B^2$
- Zu berechnen:  $r_A = \sum_i a_i |A^i \cdot L|$  (und analog  $r_B$ )
- Bsp. 2-ter Term der Summe:
 
$$\begin{aligned}
 & a_2 A^2 \cdot (A^1 \times B^2) \\
 &= a_2 B^2 \cdot (A^2 \times A^1) \\
 &= a_2 B^2 \cdot A^3 \\
 &= a_2 R_{32}
 \end{aligned}$$

Wir rechnen in Koord.system von A  
 $\rightarrow A^3$  ist 3-ter Einheitsvektor, und  
 $B^2$  ist 2-te Spalte von R
- Für jede der 15 Achsen hat man einen Test der Form
 
$$|T \cdot L| < a_2 |R_{32}| + a_3 |R_{22}| + b_1 |R_{13}| + b_3 |R_{11}|$$

G. Zachmann Virtuelle Realität und Simulation – WS 10/11 Kollisionserkennung 63

### Schnitttest für Discretely Oriented Polytopes ( $k$ -DOPs)

- Definition:**  
 Wähle  $k$  Vektoren  $\mathbf{b}_i \in \mathbb{R}^3$  fest,  $k$  gerade,  
 mit  $\mathbf{b}_i$  antiparallel zu  $\mathbf{b}_{i+k/2}$ .  
 $k$ -DOPs sind als Volumen beschrieben durch
 
$$D = \bigcap_{i=1..k} H_i \quad , \quad H_i : \mathbf{b}_i \cdot \mathbf{x} - d_i \leq 0$$
- Beschreibung eines  $k$ -DOP:**  $D = (d_1 \dots d_k) \in \mathbb{R}^k$
- Überlappungstest:**  
 $D^1 \cap D^2 = \emptyset \Leftrightarrow$   
 $\forall i = 1, \dots, \frac{k}{2} : [d_i^1, d_{i+\frac{k}{2}}^1] \cap [d_i^2, d_{i+\frac{k}{2}}^2] = \emptyset$   
 →  $k/2$  Intervall-Tests

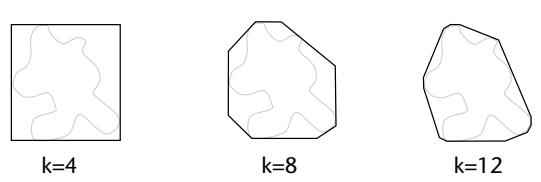


The diagram on the right shows a central point with eight vectors  $\mathbf{b}_1$  through  $\mathbf{b}_8$  pointing outwards. The vectors are arranged such that  $\mathbf{b}_i$  and  $\mathbf{b}_{i+4}$  are antiparallel. A blue polygon is formed by the intersection of half-planes defined by these vectors. Below this, two overlapping polygons (one blue, one red) are shown, with a bracket labeled 'Slab' indicating the region of overlap between two corresponding half-planes.

G. Zachmann Virtuelle Realität und Simulation – WS 10/11 Kollisionserkennung 64

### Eigenschaften

- AABBs sind spezielle DOPs
- Überlappungstest  $\in O(k)$ ,  $k$  = Anzahl Orientierungen
- Beliebig genaue Approximation der konvexen Hülle



The diagram shows three stages of approximating a complex, irregular convex shape. The first is a square (k=4), the second is an octagon (k=8), and the third is a dodecagon (k=12). As the number of half-planes increases, the approximation becomes more accurate and smoother.

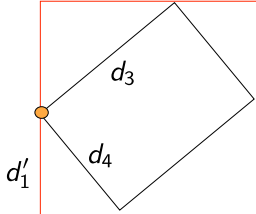
G. Zachmann Virtuelle Realität und Simulation – WS 10/11 Kollisionserkennung 65



### Overlap test of DOPs

- Algorithmus für "schiefe" DOPs:
  - Objektbewegung: Rotation R & Translation T
  - Neuer DOP nach affiner Transformation des Objektes:

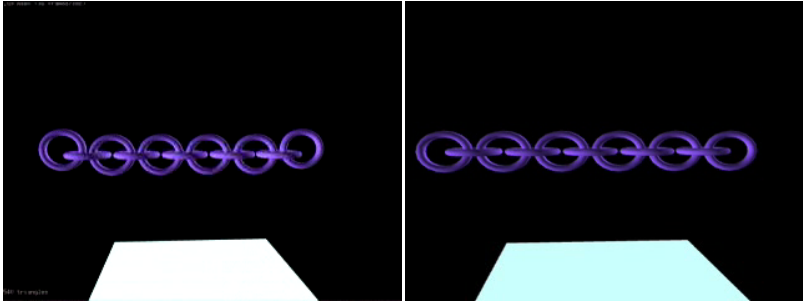
$$d'_i = \mathbf{B}_i \begin{pmatrix} \mathbf{b}_{j'_1} \\ \mathbf{b}_{j'_1} \\ \mathbf{b}_{j'_1} \end{pmatrix}^{-1} \begin{pmatrix} d_{j'_1} \\ d_{j'_1} \\ d_{j'_1} \end{pmatrix} + \mathbf{B}_i \mathbf{T},$$

$$\mathbf{b}_j = \mathbf{B}_i \mathbf{R}^{-1}$$


- Korrespondenz  $j'_i$  identisch für alle DOPs einer Hierarchie
- Aufwand:  $O(k)$ , früher  $O(k^2)$

G. Zachmann Virtuelle Realität und Simulation – WS 10/11 Kollisionserkennung 66

### Performance-Vergleich zwischen AABB und DOP



24-DOPs AABBs

Fazit: die Geschwindigkeit der Kollisionserkennung bestimmt die Geschwindigkeit der Simulation ...

G. Zachmann Virtuelle Realität und Simulation – WS 10/11 Kollisionserkennung 67